Prof. Dr. Alfred Toth

Semiotische Objekte als ontisch-semiotische Abbildungen II

1. In Toth (2014a, Teil III) hatten wir gezeigt, daß das System der Teilobjekt-Abbildungen innerhalb jedes objektalen Tripels auf nur vier Grundtypen von Abbildungen (unter Ausschluß redundanter Strukturen) reduziert werden kann:

μ_1:	$[\leftarrowtail, \leftarrowtail]$		
μ_2:	$[\leftarrowtail, \mapsto]$		
μ_3:	$[\leftarrowtail, \mapsto]$		
μ_4:	$[\mapsto, \leftarrowtail]$	k	$[\mapsto, \mapsto]$
μ_5:	$[\mapsto, \mapsto]$	k	$[\leftarrowtail, \mapsto]$
μ_6:	$[\mapsto, \leftarrowtail]$	k	$[\mapsto, \leftarrowtail]$
μ_7:	$[\leftarrowtail, \leftarrowtail]$	k	$[\leftarrowtail, \leftarrowtail]$
μ_8:	$[\leftarrowtail, \mapsto]$		
μ_9:	$[\mapsto, \leftarrowtail]$		
μ_{10}:	$[\leftarrowtail, \leftarrowtail]$		

Diesen reduzierten Pfeilkategorien entspricht nun, wie im folgenden gezeigt werden soll, eine Komplexitätsreduktion der als Abbildungen der Form $<a, b> = (f: a \rightarrow b)$ definierten kartesischen Produkten aus konversen und nicht-konversen Zeichen und Objekten in der folgenden Matrix (vgl. Toth 2014b).

	Z	×Z	0	×0
Z	<Z, Z>	<Z, ×Z>	<Z, 0>	<Z, ×0>
×Z	<×Z, Z>	<×Z, ×Z>	<×Z, 0>	<×Z, ×0>
0	<0, Z>	<0, ×Z>	<0, 0>	<0, ×0>
×0	<×0, Z>	<×0, ×Z>	<×0, 0>	<×0, ×0>

Um diese Reduktionstransformationen zu zeigen, gehen wir von den Modellen semiotischer Objekte aus, die in Toth(2014b) analysiert worden waren.

2.1. Zeichenobjekte

2.1.1. Modell: Wirtshausschild

O → Z = [[[α.δ) [ε.ζ]], [[β.η]], [θ.ι]], [[γ.κ], [λ.μ]]] →

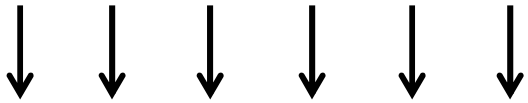

[[[3.a], [b.c]], [[2.d], [e.f]], [[1.g], [h.i]]]

2.1.2. Modell: Menukasten

×O → Z = [[[μ.λ], [κ.γ]], [[ι.θ], [η.β]], [[ζ.ε], [δ.α]]] →

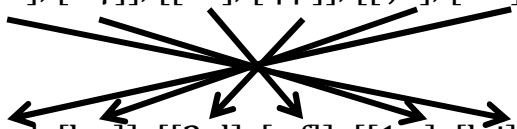

[[[3.a], [b.c]], [[2.d], [e.f]], [[1.g], [h.i]]]

2.1.3. Modell: Kochfigur

O → ×Z = [[[α.δ] [ε.ζ]], [[β.η]], [θ.ι]], [[γ.κ], [λ.μ]]] →

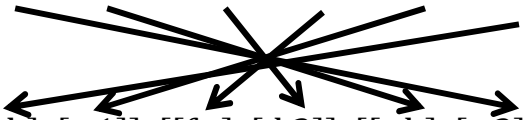

[[[i.h], [g.1]], [[f.e], [d.2]], [[c.b], [a.3]]]

2.1.4. Modell: Statue

×O → ×Z = [[[μ.λ], [κ.γ]], [[ι.θ], [η.β]], [[ζ.ε], [δ.α]]] →

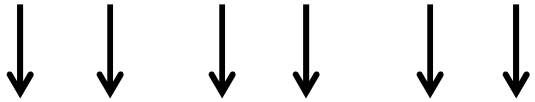

[[[i.h], [g.1]], [[f.e], [d.2]], [[c.b], [a.3]]]

2.2. Objektzeichen

2.2.1. Modell: Prothese

$(O \rightarrow Z)^{-1}$ = [[[3.a], [b.c]], [[2.d], [e.f]], [[1.g], [h.i]]] →

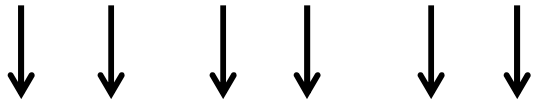

[[[α.δ] [ε.ζ]], [[β.η]], [θ.ι]], [[γ.κ], [λ.μ]]]

2.2.2. Modell: Menutafel u.ä.

$(\times O \rightarrow Z)^{-1}$ = [[[3.a], [b.c]], [[2.d], [e.f]], [[1.g], [h.i]]] →

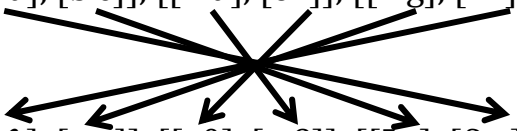

[[[μ.λ], [κ.γ]], [[ι.θ], [η.β]], [[ζ.ε], [δ.α]]]

2.2.3. Modell: Impersonierung

$(O \rightarrow \times Z)^{-1}$ = [[[i.h], [g.1]], [[f.e], [d.2]], [[c.b], [a.3]]]

[[[α.δ] [ε.ζ]], [[β.η]], [θ.ι]], [[γ.κ], [λ.μ]]]

2.2.4. Modell: Schriftzug, Malerei u.ä.

$(\times O \rightarrow \times Z)^{-1}$ = [[[i.h], [g.1]], [[f.e], [d.2]], [[c.b], [a.3]]] →

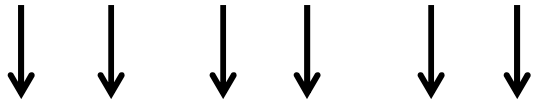

[[[μ.λ], [κ.γ]], [[ι.θ], [η.β]], [[ζ.ε], [δ.α]]].

Wie man leicht erkennt, gibt es lineare und nicht-lineare ("chiastische") Abbildungstypen. Auch deren Verteilung auf die ontisch-semiotischen Abbildungen ist leicht erkenntlich, denn nicht-lineare Abbildungen sind auf konverse Zeichen oder Objekte beschränkt, die auf nicht-konverse Zeichen oder Objekte abgebildet werden, d.h. auf die Strukturen der allgemeinen Form $(\times X \rightarrow Y)$ oder $(X \rightarrow \times Y)$.

Literatur

Toth, Alfred, Semiotische Objekte als ontisch-semiotische Abbildungen. In: Electronic Journal for Mathematical Semiotics, 2014a

Toth, Alfred, Formales System der Metaobjektivation I-III. In: Electronic Journal for Mathematical Semiotics, 2014b

29.4.2014